

# Машинное обучение и нейросетевые модели: нормализующие потоки

Лектор: Кравченя Павел Дмитриевич

Волгоград 2024

---

## План лекции

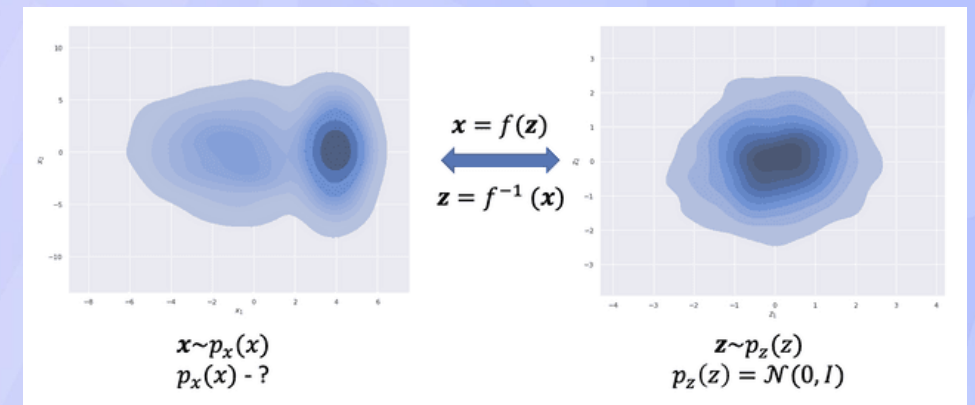
1. Особенности моделей VAE и GAN. Идея нормализующих потоков.
  2. Матрица Якоби и якобиан. Формула замены переменной.
  3. Нормализующий поток. Архитектура нормализующего потока.
  4. Плотность вероятности данных для комбинации отображений в потоке.
  5. Поэлементно преобразующие нормализующие потоки.
  6. Архитектура NICE. Понятие слоя связывания. Типы слоёв связывания.
  7. Архитектура RealNVP. Организация слоёв связывания в RealNVP.
  8. Архитектура Glow. Основные операции. Многослойная архитектура.
  9. Модель авторегрессионных потоков. Обуславливающие функции.
  10. Модель обратных авторегрессионных потоков. Особенности работы.
-

- Рассмотренные ранее модели – *генеративно-состязательные нейросети и вариационные автокодировщики* – обладают рядом преимуществ:
  - способность изучать *сложные паттерны* в данных;
  - создание *структурированного, часто хорошо интерпретируемого* латентного пространства;
  - генерация *высококачественных* изображений, в том числе, *условная*;
  - *контроль атрибутов* сгенерированных изображений, и т.д.
- Однако, данные модели имеют и существенные недостатки, которые ограничивают их практическое применение:
  - ✓ не позволяют явно вычислить плотность распределения *реальных данных*  $p(\mathbf{x})$  из-за вычислительной сложности;

- ✓ процесс обучения может быть сложным из-за целого ряда явлений, включая *коллапс моды, коллапс апостериорного распределения, исчезающие градиенты и нестабильность обучения.*
- Следует заметить, что явное вычисление  $p(\mathbf{x})$  позволяет эффективно решать многие задачи:
  - выборка *ненаблюдаемых, но реалистичных* новых данных (генерация);
  - предсказание частоты будущих событий (оценка плотности),
  - *вывод* латентных переменных,
  - *заполнение* неполных выборок данных, и т.д.
- Явно вычислять  $p(\mathbf{x})$  способен другой класс генеративных моделей – нормализующие потоки (*normalizing flows*).



- Пусть  $\mathbf{x} \sim p_x(\mathbf{x})$  – семпл из распределения *реальных данных*, а  $\mathbf{z} \sim p_z(\mathbf{z})$  – семпл из распределения *латентной переменной*  $\mathbf{z}$ , причём  $p_z(\mathbf{z}) = \mathcal{N}(\mathbf{0}, \mathbf{I})$ .
- Пусть существует такое отображение  $f: \mathbb{R}^n \rightarrow \mathbb{R}^n$ , что  $\mathbf{x} = f(\mathbf{z})$  и  $\mathbf{z} = f^{-1}(\mathbf{x})$ .
- Следовательно, с помощью функции  $f$  можно задать *преобразование* между *плотностями распределений*  $p_x(\mathbf{x})$  и  $p_z(\mathbf{z})$ . А это означает, что можно генерировать объект  $\mathbf{x}$ , выполняя семплирование  $\mathbf{z} \sim p_z(\mathbf{z})$  и выполняя преобразование  $\mathbf{x} = f(\mathbf{z})$ .
- Обратное отображение «нормализует» сложное распределение  $p_x(\mathbf{x})$ , приводя его к простому  $p_z(\mathbf{z})$ .



- Пусть задана функция  $f: \mathbb{R}^n \rightarrow \mathbb{R}^m$ . Тогда матрица частных производных первого порядка этой функции по аргументам называется матрицей Якоби:

$$J_{ij} = \frac{\partial f_i}{\partial x_j}, \quad \mathbf{J}(\mathbf{x}) = \begin{bmatrix} \frac{\partial f_1}{\partial x_1} & \dots & \frac{\partial f_1}{\partial x_n} \\ \vdots & \ddots & \vdots \\ \frac{\partial f_m}{\partial x_1} & \dots & \frac{\partial f_m}{\partial x_n} \end{bmatrix}.$$

- Определитель – функция, определённая на множестве квадратных матриц. Если  $\det \mathbf{M} = 0$ , то матрица не имеет обратной.

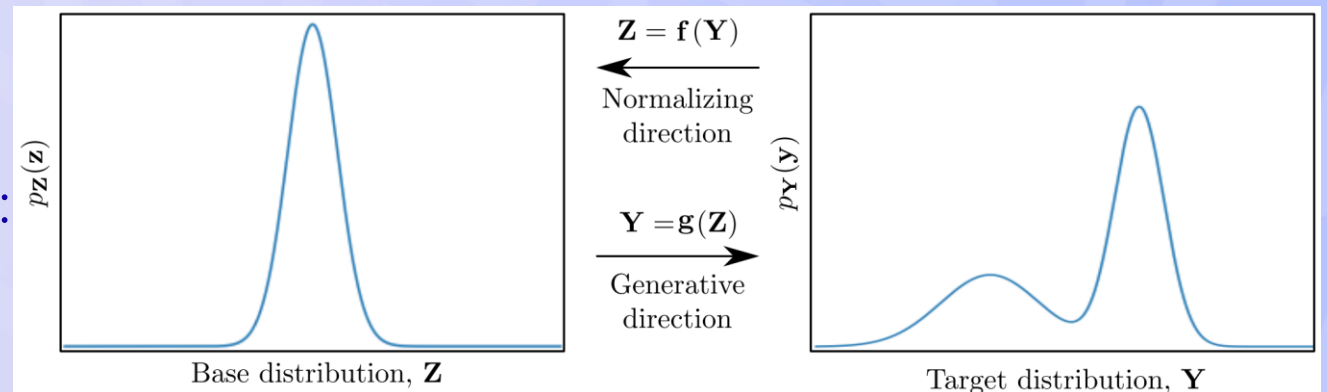
$$\det \mathbf{M} = \det \begin{bmatrix} m_{11} & m_{12} & \dots & m_{1n} \\ m_{21} & m_{22} & \dots & m_{2n} \\ \vdots & \vdots & \ddots & \vdots \\ m_{n1} & m_{n2} & \dots & m_{nn} \end{bmatrix}.$$

- Определитель матрицы Якоби называется якобианом.

- Пусть  $\mathbf{y} \sim p_{\mathbf{y}}(\mathbf{y})$ ,  $\mathbf{z} \sim p_{\mathbf{z}}(\mathbf{z})$ , а отображение  $f: \mathbb{R}^n \rightarrow \mathbb{R}^n$  дифференцируемо, обратимо и  $\mathbf{y} = f(\mathbf{z})$ . Тогда справедлива формула замены переменной (change of variable theorem):

$$p_{\mathbf{y}}(\mathbf{y}) = p_{\mathbf{z}}(f^{-1}(\mathbf{y})) \cdot |\det(\mathbf{J}_{f^{-1}})|.$$

- В контексте генеративных моделей  $g = f^{-1}(\mathbf{y})$  (генератор) «продвигает» плотность  $p_{\mathbf{z}}(\mathbf{z})$  (иногда называемую «шумом») к сложной плотности  $p_{\mathbf{y}}(\mathbf{y})$ .
- Функция  $f(\mathbf{z})$  «продвигает»  $p_{\mathbf{y}}(\mathbf{y})$  в противоположном, нормализующем направлении: от сложного распределения данных к более простому  $p_{\mathbf{z}}(\mathbf{z})$ .



- Нормализующим потоком называют обратимое дифференцируемое отображение  $f_{\theta}: \mathbb{R}^n \rightarrow \mathbb{R}^n$ , которое переводит реальные представления объектов в скрытые:  $\mathbf{x} = f_{\theta}(\mathbf{z})$  и  $\mathbf{z} = f_{\theta}^{-1}(\mathbf{x})$ .
- При этом плотность вероятности реальных данных  $p_x(\mathbf{x})$  вычисляется из плотности распределения  $p_z(\mathbf{z})$  по формуле замены переменной.

- Обучение модели сводится к определению её весов с помощью ММП:

$$\theta^* = \arg \max_{\theta \in \Theta} \left[ \log p_x(\mathcal{D}, \theta) = \sum_{i=1}^M \log p_z \left( f_{\theta}^{-1}(\mathbf{x}_i) \right) + \log \left| \det \left( \mathbf{J}_{f^{-1}}(\mathbf{x}_i) \right) \right| \right], \quad \mathcal{D} = \{\mathbf{x}_i\}_{i=1}^m.$$

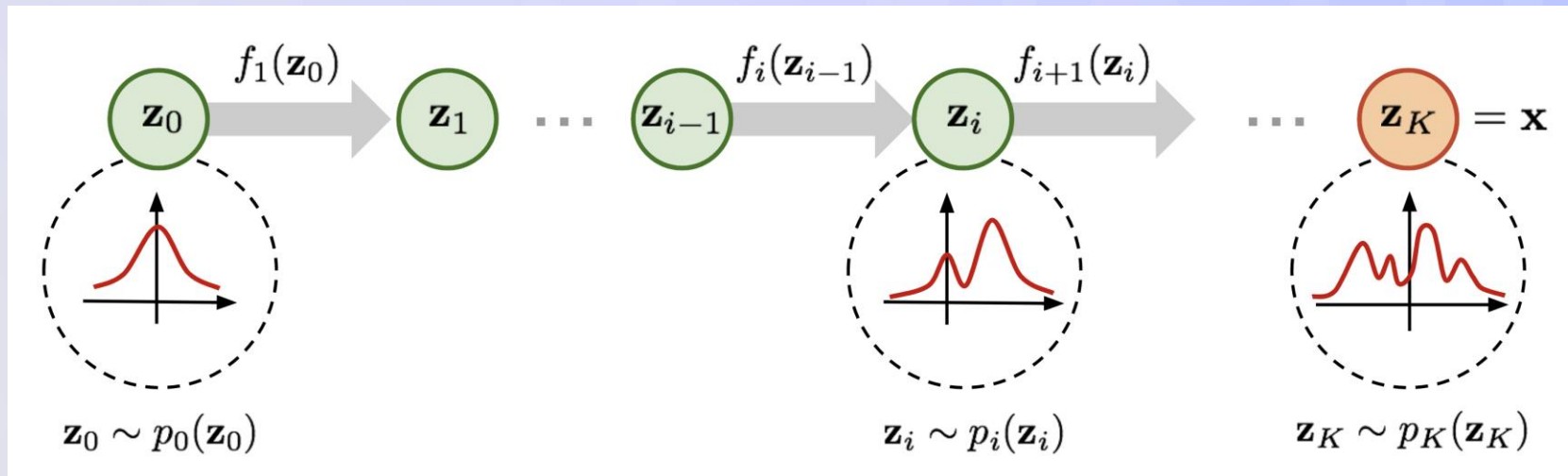
- Построение произвольных сложных инвертируемых функций является сложной задачей. Обычно используют функции, которые удобно вычислять, инвертировать и рассчитывать их якобиан.



- Как правило, для получения достаточной выразительности модель нормализующего потока составляют из комбинации  $K$  отображений:

$$f = f_1 \circ f_2 \circ \dots \circ f_K$$

$$\mathbf{z}_{i-1} \sim p_{i-1}(\mathbf{z}_{i-1}) \quad \mathbf{z}_i \sim f_i(\mathbf{z}_{i-1}) \Leftrightarrow \mathbf{z}_{i-1} = f_i^{-1}(\mathbf{z}_i) \quad p_i(\mathbf{z}_i) = p_{i-1}(f_i^{-1}(\mathbf{z}_i)) \left| \det \frac{\partial f_i^{-1}}{\partial \mathbf{z}_i} \right|$$



- Вспользуемся теоремой об обращении функции (*inverse function theorem*), согласно которой, если  $\mathbf{y} = f(\mathbf{x})$  и  $\mathbf{x} = f^{-1}(\mathbf{y})$ , то:

$$\frac{df^{-1}(\mathbf{y})}{d\mathbf{y}} = \frac{d\mathbf{x}}{d\mathbf{y}} = \left(\frac{d\mathbf{y}}{d\mathbf{x}}\right)^{-1} = \left(\frac{df(\mathbf{x})}{d\mathbf{x}}\right)^{-1}.$$

- Тогда:

$$p_i(\mathbf{z}_i) = p_{i-1}(f_i^{-1}(\mathbf{z}_i)) \left| \det \frac{\partial f_i^{-1}}{\partial \mathbf{z}_i} \right| = p_{i-1}(f_i^{-1}(\mathbf{z}_i)) \left| \det \left( \frac{\partial f_i}{\partial \mathbf{z}_{i-1}} \right)^{-1} \right|.$$

- Вспользуемся свойством детерминанта инвертируемой функции:

так как  $\det(\mathbf{M}) \cdot \det(\mathbf{M}^{-1}) = \det(\mathbf{M} \cdot \mathbf{M}^{-1}) = \det(\mathbf{E}) = 1$ , то  $\det(\mathbf{M}^{-1}) = (\det(\mathbf{M}))^{-1}$

- Тогда:

$$p_i(\mathbf{z}_i) = p_{i-1}(f_i^{-1}(\mathbf{z}_i)) \left| \det \left( \frac{\partial f_i}{\partial \mathbf{z}_{i-1}} \right)^{-1} \right| = p_{i-1}(f_i^{-1}(\mathbf{z}_i)) \left| \det \left( \frac{\partial f_i}{\partial \mathbf{z}_{i-1}} \right) \right|^{-1}.$$

- Логарифмируя полученное выражение, приходим к виду:

$$\log p_i(\mathbf{z}_i) = \log p_{i-1}(f_i^{-1}(\mathbf{z}_i)) - \log \left| \det \left( \frac{\partial f_i}{\partial \mathbf{z}_{i-1}} \right) \right|.$$

- Представим последовательность преобразования данных таким образом:

$$\mathbf{x} = \mathbf{z}_K = f_K \circ f_{K-1} \circ \dots \circ f_1(\mathbf{z}_0), \quad \mathbf{z}_i \sim \pi_i(\mathbf{z}_i).$$

$$\log p(\mathbf{x}) = \log \pi_K(\mathbf{z}_K) = \log \pi_{K-1}(\mathbf{z}_{K-1}) - \log \left| \det \frac{\partial f_K}{\partial \mathbf{z}_{K-1}} \right| =$$

$$= \log \pi_{K-2}(\mathbf{z}_{K-2}) - \log \left| \det \frac{\partial f_K}{\partial \mathbf{z}_{K-1}} \right| - \log \left| \det \frac{\partial f_{K-1}}{\partial \mathbf{z}_{K-2}} \right| = \dots = \log \pi_0(\mathbf{z}_0) - \sum_{i=1}^K \log \left| \det \frac{\partial f_i}{\partial \mathbf{z}_{i-1}} \right|.$$

- Вычисление якобиана является вычислительно затратной операцией!
- Функцию  $f$  выбирают так, чтобы было легко посчитать  $f^{-1}$  и якобиан, но при этом обеспечить достаточную выразительность модели.

- Простой нормализующий поток может быть построен на основе любой биективной скалярной функции (*elementwise flow*). Пусть  $h: \mathbb{R} \rightarrow \mathbb{R}$  – скалярная биективная функция, а  $\mathbf{x} = [x_1, x_2, \dots, x_D]^T$ . Тогда:

$$f^{-1}(\mathbf{x}) = [h(x_1), h(x_2), \dots, h(x_D)]^T.$$

- Функция  $f^{-1}(\mathbf{x})$  также биективна, а её якобиан:

$$\det(J_{f^{-1}}) = \prod_{i=1}^D \det\left(\frac{\partial h(x_i)}{\partial x_i}\right).$$

- Подход может быть обобщен путем добавления своей функции  $h_i(x_i)$  для каждого элемента  $x_i$ .
- Недостатком данного типа нормализующего потока является отсутствие смеси компонент переменной.

- Метод основан на *идее*, что в хорошем представлении данные имеют распределение, которое легко моделировать.
- В *NICE* латентные переменные разделяются на два блока:  $\mathbf{z} = (\mathbf{z}_{1..d}, \mathbf{z}_{d+1..K})$ , и к ним применяется преобразование следующего вида:

$$\begin{aligned}\mathbf{x}_{1..d} &= \mathbf{z}_{1..d}, \\ \mathbf{x}_{d+1..K} &= \mathbf{z}_{d+1..K} + m(\mathbf{z}_{1..d}).\end{aligned}$$

Здесь  $m$  – произвольная сложная функция (например, нейронная сеть).

- Для данного преобразования легко вычисляется обратное ему и якобиан:

$$\begin{aligned}\mathbf{z}_{1..d} &= \mathbf{x}_{1..d}, \\ \mathbf{z}_{d+1..K} &= \mathbf{x}_{d+1..K} - m(\mathbf{x}_{1..d}).\end{aligned}\quad \det(J_{f^{-1}}) = \det\left(\frac{\partial f^{-1}}{\partial \mathbf{x}}\right) = \prod_{i=1}^d \frac{\partial \mathbf{z}_i}{\partial \mathbf{x}_i} \cdot \prod_{i=d+1}^K \frac{\partial \mathbf{z}_i}{\partial \mathbf{x}_i} = 1.$$

- Из-за того, что первые  $d$  каналов вектора совпадают с координатами нормального шума, моделирования этих каналов не происходит.



- С целью повышения выразительности модели взаимосвязь между блоками латентной переменной можно *расширить*.
- Введем преобразование  $\mathbf{x} = f(\mathbf{z})$  следующим образом:

$$\begin{aligned}\mathbf{x}_{1..d} &= \mathbf{z}_{1..d}, \\ \mathbf{x}_{d+1..K} &= g(\mathbf{z}_{d+1..K}; m(\mathbf{z}_{1..d})).\end{aligned}$$

- И тогда обратное преобразование и якобиан:

$$\begin{aligned}\mathbf{z}_{1..d} &= \mathbf{x}_{1..d}, \\ \mathbf{z}_{d+1..K} &= g^{-1}(\mathbf{x}_{d+1..K}; m(\mathbf{x}_{1..d})).\end{aligned} \quad \det(J_{f^{-1}}) = \det\left(\frac{\partial f^{-1}}{\partial \mathbf{x}}\right) = \det\begin{bmatrix} \mathbf{E}_d & \mathbf{0} \\ \frac{\partial \mathbf{z}_{d+1..K}}{\partial \mathbf{x}_{1..d}} & \frac{\partial \mathbf{z}_{d+1..K}}{\partial \mathbf{x}_{d+1..K}} \end{bmatrix} = \det\left[\frac{\partial \mathbf{z}_{d+1..K}}{\partial \mathbf{x}_{d+1..K}}\right].$$

- Подобное преобразование называется слоем связывания (*coupling layer*) со связывающей функцией  $m$ . Представленный выше слой связывания представлен в обобщенном виде (*general coupling layer*).

- Слои связывания могут быть различными, различаясь выбором вида функции  $g(\mathbf{a}, \mathbf{b})$ :

- Аддитивный слой связывания (как в NICE):

$$g(\mathbf{a}, \mathbf{b}) = \mathbf{a} + \mathbf{b}.$$

- Мультипликативный слой связывания:

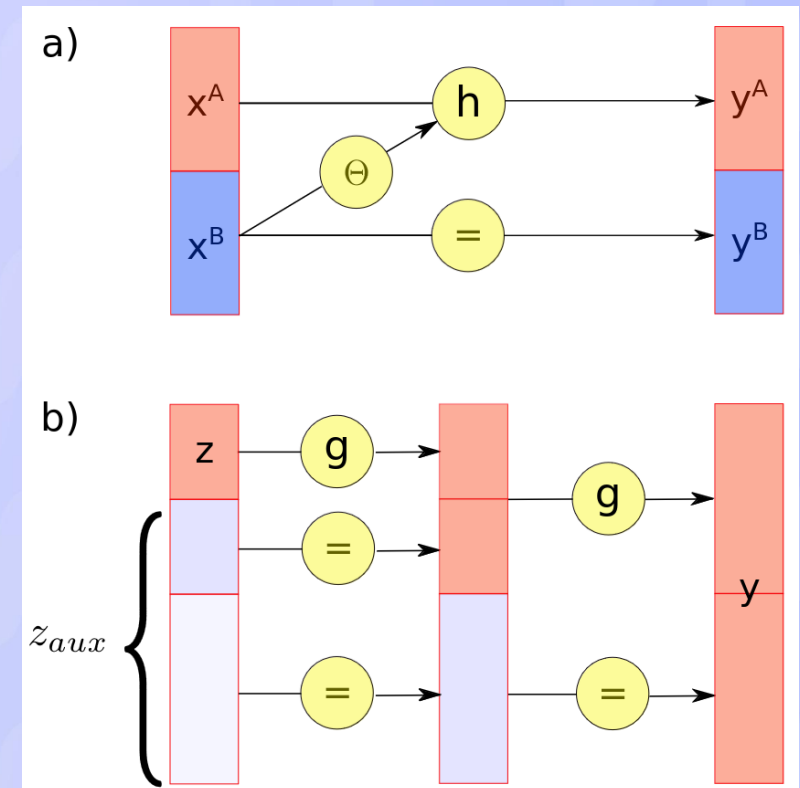
$$g(\mathbf{a}, \mathbf{b}) = \mathbf{a} \odot \mathbf{b}, \quad \mathbf{b} \neq \mathbf{0}.$$

- Афинный слой связывания:

$$g(\mathbf{a}, \mathbf{b}) = \mathbf{a} \odot \mathbf{b}^A + \mathbf{b}^B, \quad \mathbf{b}^A \neq \mathbf{0},$$

если  $m: \mathbb{R}^d \rightarrow \mathbb{R}^{K-d} \times \mathbb{R}^{K-d}$

- Слои могут объединяться, образуя более сложную структуру.



- Афинное связывание было применено в архитектуре RealNVP, в которой реализовано преобразование вида:

$$\begin{aligned}\mathbf{x}_{1..d} &= \mathbf{z}_{1..d}, \\ \mathbf{x}_{d+1..K} &= \mathbf{z}_{d+1..K} \odot \exp(s(\mathbf{z}_{1..d})) + t(\mathbf{z}_{1..d}).\end{aligned}$$

Здесь  $s: \mathbb{R}^d \rightarrow \mathbb{R}^{K-d}$  и  $t: \mathbb{R}^d \rightarrow \mathbb{R}^{K-d}$  – функции масштабирования и сдвига.

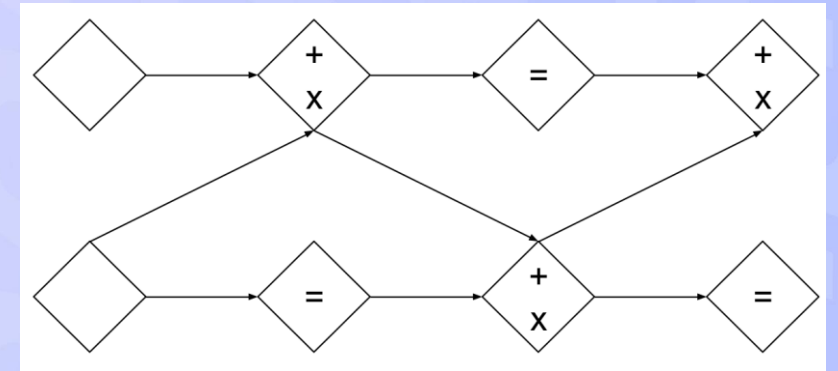
- Обратное преобразование примет вид:

$$\begin{aligned}\mathbf{z}_{1..d} &= \mathbf{x}_{1..d}, \\ \mathbf{z}_{d+1..K} &= (\mathbf{x}_{d+1..K} - t(\mathbf{z}_{1..d})) \odot \exp(-s(\mathbf{z}_{1..d})).\end{aligned}$$

- А якобиан:

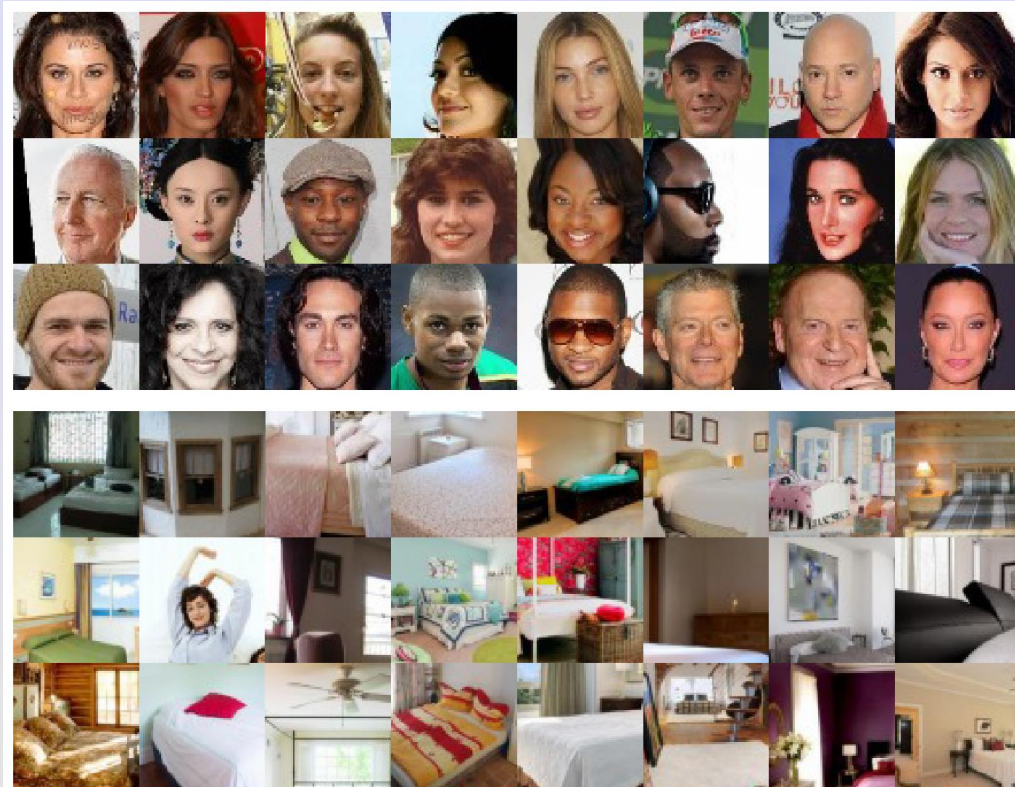
$$\det(J_{f^{-1}}) = \det \begin{bmatrix} \mathbf{E}_d & \mathbf{0}_{d \times (K-d)} \\ \frac{\partial \mathbf{z}_{d+1..K}}{\partial \mathbf{x}_{1..d}} & \text{diag}(\exp(-s(\mathbf{z}_{1..d}))) \end{bmatrix} = \prod_{j=1}^{K-d} \exp(-s(\mathbf{z}_{1..d})_j) = \exp \left( - \sum_{j=1}^{K-d} s(\mathbf{z}_{1..d})_j \right).$$

- В афинном связывании большая часть компонент остается неизменной.
- Чтобы преобразование было способным моделировать распределение во всех компонентах, в разных слоях связывания неизменными оставляют разные подмножества компонент.
- Слои связывания организуются по чередующемуся шаблону, так что компоненты, которые остаются неизменными в одном слое связи, обновляются в следующем.
- Также, чтобы улучшить сходимость глубоких нормализующих потоков, авторы используют *Batch Normalization*. Данное преобразование тоже является обратимым, а его якобиан вычисляется просто.





Примеры изображений из датасетов

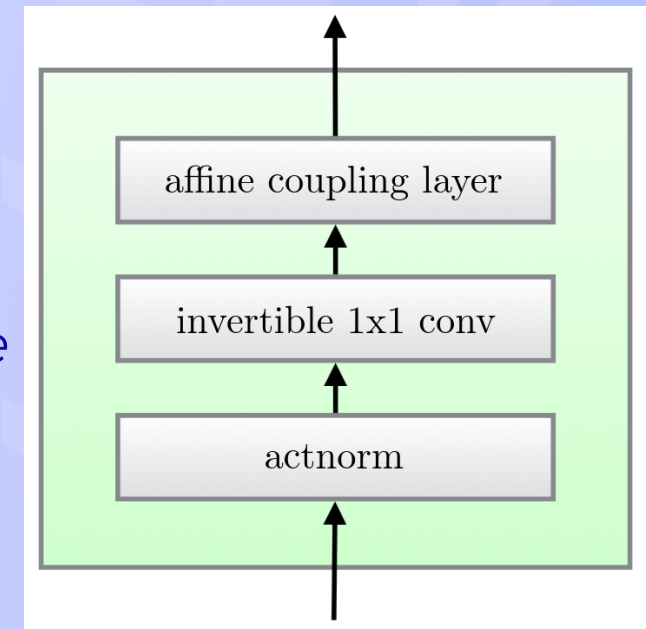


Примеры семплов из RealNVP





- Модель *Glow* расширяет модель *RealNVP*, заменяя чередование слоёв связывания инвертируемой свёрткой 1 × 1.
- Преобразование данных в модели *Glow* состоит из трех шагов:
  1. Activation normalization («actnorm»). Выполняет аффинное преобразование для каждого канала с обучаемыми параметрами.
  2. Invertible 1 × 1 convolution. Обобщает операцию перестановки порядка каналов. Имеет одинаковое количество входных и выходных каналов.
  3. Affine coupling layer. Слой связывания, имеет ту же архитектуру, что и в *RealNVP*.



- Поскольку дисперсия активаций после слоя пакетной нормализации обратно пропорциональна размеру мини-батча, то производительность модели снижается при его небольшом размере. А для больших изображений размер мини-батча *небольшой* из-за ограничения памяти.
- Для обработки изображений  $\mathbf{x}, \mathbf{y} \in \mathbb{R}_+^{H \times W \times C}$  предлагается использовать слой нормализации активации:

$$\forall i, j : \mathbf{y}_{i,j} = \mathbf{s} \odot \mathbf{x}_{i,j} + \mathbf{b} \Leftrightarrow \mathbf{x}_{i,j} = \frac{(\mathbf{y}_{i,j} - \mathbf{b})}{\mathbf{s}},$$
$$\log|\det(J_{f^{-1}})| = \log \left| \det \left( \frac{\partial f^{-1}}{\partial \mathbf{x}} \right) \right| = H \cdot W \cdot \sum_j \log|\mathbf{s}|_j.$$

- Параметры  $\mathbf{s}$  и  $\mathbf{b}$  инициализируются таким образом, что на первом шаге обучения активации имеют нулевое среднее и единичную дисперсию.

- Пусть на вход инвертируемой свёртки  $1 \times 1$  подаётся  $\mathbf{x} \in \mathbb{R}_+^{H \times W \times C}$ . Свёртка задана матрицей  $\mathbf{W} \in \mathbb{R}^{C \times C}$ . Тогда:

$$\forall i, j : \mathbf{y}_{i,j} = \mathbf{W}\mathbf{x}_{i,j} \Leftrightarrow \mathbf{x}_{i,j} = \mathbf{W}^{-1}\mathbf{y}_{i,j},$$

- Для расчёта обратного преобразования требуется обратить матрицу  $\mathbf{W}$ . Поскольку размеры матрицы сравнительно *небольшие*, данная операция выполняется за вменяемое время.
- Рассчитаем якобиан. Учтём, что каждый *вектор*, соответствующий одному «пикселю» изображения  $\mathbf{x}_{i,j}$ ,  $i \in [1..H]$ ,  $j \in [1..W]$ , независимо от других подаётся на вход свёрточному слою и участвует в расчёте производной.

$$\log|\det(J_{f^{-1}})| = \log\left|\det\left(\frac{\partial \text{conv2d}(\mathbf{x}, \mathbf{W})}{\partial \mathbf{x}}\right)\right| = \log(|\det \mathbf{W}|^{H \cdot W}) = H \cdot W \cdot \log|\det \mathbf{W}|.$$

- Аффинный слой связывания аналогичен слою в *RealNVP*:

$$\begin{aligned} \mathbf{x}_a, \mathbf{x}_b &= \text{split}(\mathbf{x}), \\ (\log \mathbf{s}, \mathbf{t}) &= \text{NN}(\mathbf{x}_b), \\ \mathbf{s} &= \exp \log \mathbf{s}, \\ \mathbf{y}_a &= \mathbf{s} \odot \mathbf{x}_a + \mathbf{t}, \\ \mathbf{y}_b &= \mathbf{x}_b, \\ \mathbf{y} &= \text{concat}(\mathbf{y}_a, \mathbf{y}_b). \end{aligned}$$

$$\begin{aligned} \mathbf{y}_a, \mathbf{y}_b &= \text{split}(\mathbf{y}), \\ (\log \mathbf{s}, \mathbf{t}) &= \text{NN}(\mathbf{y}_b), \\ \mathbf{s} &= \exp \log \mathbf{s}, \\ \mathbf{x}_a &= \frac{\mathbf{y}_a - \mathbf{t}}{\mathbf{s}}, \\ \mathbf{x}_b &= \mathbf{y}_b, \\ \mathbf{x} &= \text{concat}(\mathbf{x}_a, \mathbf{x}_b). \end{aligned}$$

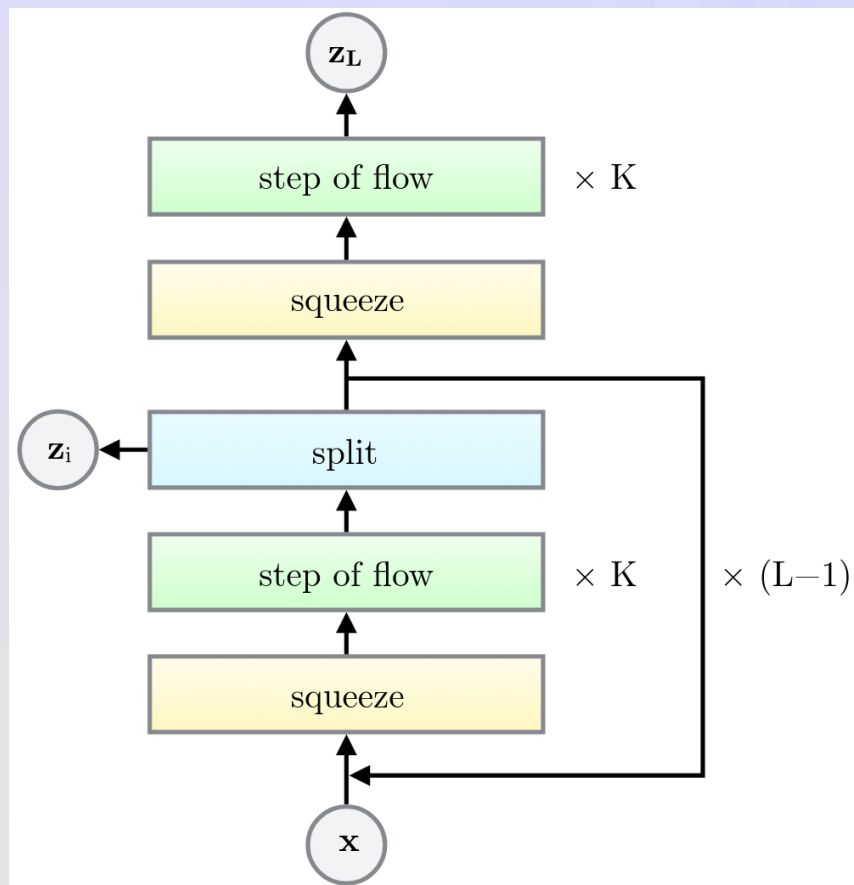
- Якобиан:

$$\log |\det(J_{f^{-1}})| = \sum_j s(\mathbf{z}_{1..d})_j.$$

- Функция  $\text{split}(\cdot)$  разделяет входной вектор на две половины вдоль размерности каналов, функция  $\text{concat}(\cdot, \cdot)$  выполняет обратную операцию.



## Многослойная архитектура Glow и результаты её работы





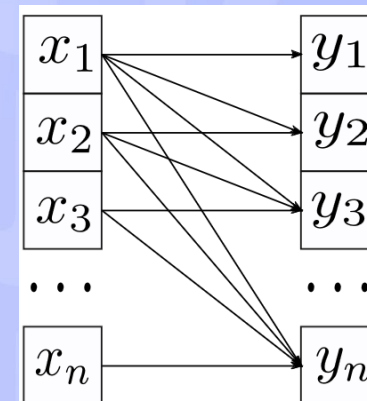
- Пусть  $h_{\theta}: \mathbb{R} \rightarrow \mathbb{R}$  – биективная функция. Тогда отображение  $g: \mathbb{R}^D \rightarrow \mathbb{R}^D$  называется авторегрессионной моделью, если текущее выходное значение модели  $\mathbf{y} = g(\mathbf{x})$  зависит от предыдущих значений на входе:

$$y_t = h_{\Theta_t(\mathbf{x}_{1:t-1})}(x_t),$$

где  $\mathbf{x}_{1:t} = (x_1, x_2, \dots, x_t)$ . Для  $t = 2, \dots, D$  выбирается произвольная функция  $\Theta_t(\cdot)$ , отображающая входные значения на множество параметров  $\theta$ , и  $\Theta_1 = \text{const}$ .

- Функции  $\Theta_t(\cdot)$  называются обуславливающими (conditioners).
- Матрица Якоби авторегрессионной модели имеет треугольный вид. Якобиан может быть рассчитан аналогично:

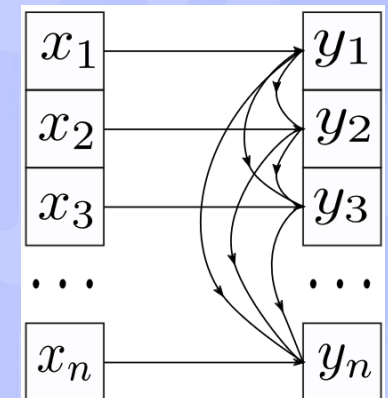
$$\det(J) = \prod_{t=1}^D \frac{\partial y_t}{\partial x_t}.$$



- Модель авторегрессионных потоков трудно применить на практике к данным *высокой размерности*, поскольку генерация нового объекта осуществляется авторегрессионно по *входным* значениям, что становится *слишком вычислительно сложным*.
- Идея: введем авторегрессионную зависимость не по **x**, а по **y**:

$$y_t = h_{\Theta_t(y_{1:t-1})}(x_t).$$

- Проблема долгого вычисления авторегрессии остаётся. Модель обратного авторегрессионного потока позволяет генерировать объекты *быстрее* (так как  $|y| \ll |x|$ ), но процесс обучения уже не может быть *распараллелен*, и он занимает больше времени.



# Демонстрация практических примеров

---

## Заключение

1. Рассмотрели нормализующие потоки как класс глубоких генеративных моделей, разобрались с принципами их организации и работы.
  2. Выяснили основные правила функционирования нормализующих потоков, их обучения и генерации новых данных с их помощью.
  3. Рассмотрели организацию поэлементно преобразующих потоков.
  4. Ввели понятие слоёв связывания в нормализующих потоках, рассмотрели модели NICE и RealNVP, их организацию и правила работы.
  5. Познакомились с архитектурой Glow, в теории и на практическом примере разобрали процессы обучения и генерации модели.
  6. Рассмотрели применение потоков к построению прямых и обратных авторегрессионных моделей, разобрали особенности их работы.
-

# **Спасибо за внимание!**

Волгоград 2024

---